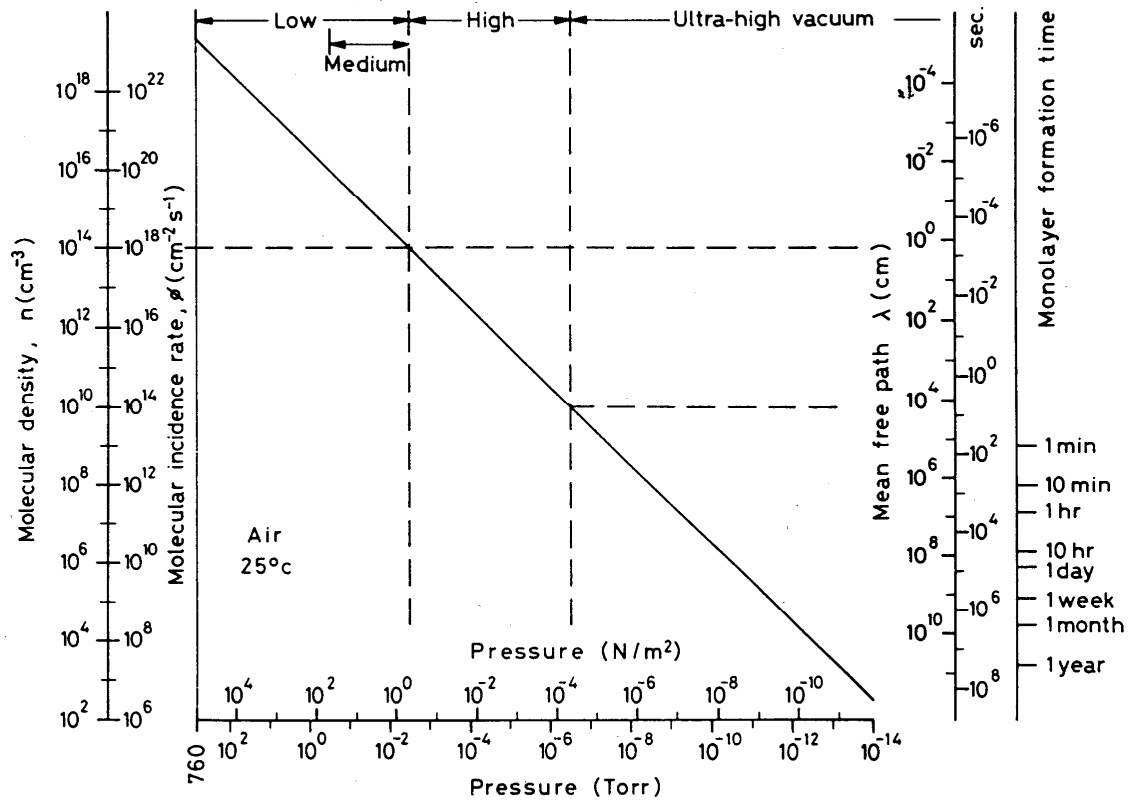


Anhang

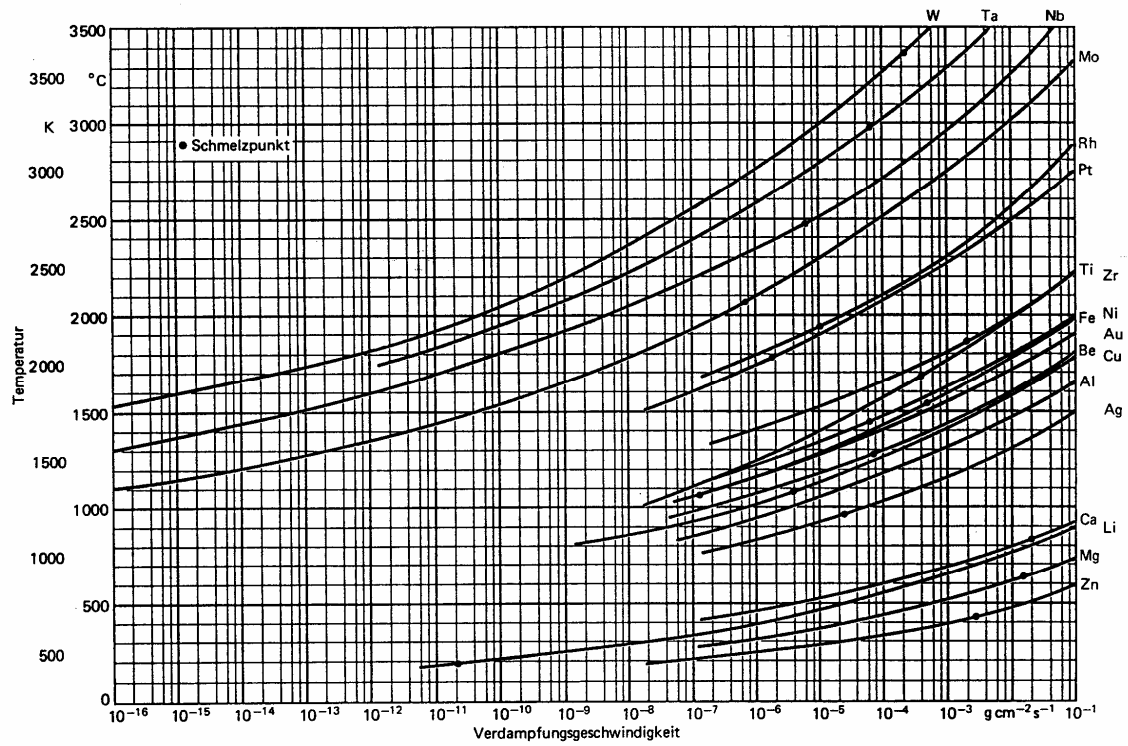
Vakuumtechnik:



Zeit für die Bildung einer Monolage in Abhängigkeit vom Umgebungsdruck:
 Teilchendichte n , Auftretrate Φ , mittlere freie Weglänge λ
 [13, p. 2]

Anhang

Aufdampftechnik:



Verdampfungsgeschwindigkeit im Hochvakuum in Abhängigkeit von der Quelltemperatur
[3, p. 20]

Anhang

Sputtertechnik:

| Target | Sputterausbeute Y für E_i in eV | | | | | | E_{thres} | E_0 |
|--------------------------------|-------------------------------------|------|-------|-------|-------|--------|-------------|-------|
| | 200 | 600 | 1 000 | 2 000 | 5 000 | 10 000 | | |
| | Atome/Ion | | | | | | | |
| Ag | 1,6 | 3,4 | | | | 8,8 | 15 | 2,94 |
| Al | 0,35 | 1,2 | | | 2,0 | | 13 | 3,33 |
| Au | 1,1 | 2,8 | 3,6 | 5,6 | 7,9 | | 20 | 3,92 |
| C | 0,05 | 0,2 | | | | | - | 7,39 |
| Co | 0,6 | 1,4 | | | | | 25 | 4,40 |
| Cr | 0,7 | 1,3 | | | | | 22 | 4,11 |
| Cu | 1,1 | 2,3 | 3,2 | 4,3 | 5,5 | 6,6 | 17 | 3,50 |
| Fe | 0,5 | 1,3 | 1,4 | 2,0 | 2,5 | | 20 | 4,13 |
| Ge | 0,5 | 1,2 | 1,5 | 2,0 | 3,0 | 3,98 | 25 | - |
| Mo | 0,4 | 0,9 | 1,1 | | 1,5 | 2,2 | 24 | 6,88 |
| Nb | 0,25 | 0,65 | | | | | 25 | - |
| Ni | 0,7 | 1,5 | 2,1 | | | | 21 | 4,45 |
| Os | 0,4 | 0,95 | | | | | - | 8,19 |
| Pd | 1,0 | 2,4 | | | | | 20 | 3,90 |
| Pt | 0,6 | 1,6 | | | | | 25 | 5,95 |
| Re | 0,4 | 0,9 | | | | | 35 | 8,06 |
| Rh | 0,55 | 1,5 | | | | | 24 | 5,76 |
| Si | 0,2 | 0,5 | 0,6 | 0,9 | 1,4 | | - | 4,68 |
| Ta | 0,3 | 0,6 | | | 1,05 | | 26 | 8,10 |
| Th | 0,3 | 0,7 | | | | | 24 | 5,97 |
| Ti | 0,2 | 0,6 | | 1,1 | 1,7 | 2,1 | 20 | 4,86 |
| U | 0,35 | 1,0 | | | | | 23 | 5,00 |
| W | 0,3 | 0,6 | | | 1,1 | | 33 | 8,80 |
| Zr | 0,3 | 0,75 | | | | | 22 | 6,34 |
| Moleküle/Ion | | | | | | | | |
| CdS (1010) | 0,5 | 1,2 | | | | | | |
| GaAs (110) | 0,4 | 0,9 | | | | | | |
| GaP (111) | 0,4 | 1,0 | | | | | | |
| GaSb (111) | 0,4 | 0,9 | 1,2 | | | | | |
| InSb (110) | 0,25 | 0,55 | | | | | | |
| PbTe (110) | 0,6 | 1,40 | | | | | | |
| SiC (0001) | | 0,45 | | | | | | |
| SiO ₂ | | | 0,13 | 0,4 | | | | |
| Al ₂ O ₃ | | | 0,04 | 0,11 | | | | |

Sputterausbeute Y verschiedener Materialien als Funktion der Energie E_i der auftreffenden Ar-Ionen, Schwellenenergie E_{thresh} und Sublimationsenergie E_0 [1, p. 98]

Anhang

Analysemethoden:

Tabelle 8-7. Analysemethoden und ihre Charakterisierungsart.

| Methode | Abkürzungen | Anregung/ Detek- tion*) | Charakterisierungsart | | | elek- tronische Eigen- schaften | Referenzen |
|----------------------------------|-------------|-------------------------------|-----------------------|-------------------------------------|------------------|--|--|
| | | | Chemische Analyse | Molekül- kristall- strukturen | Mikro- skopie | | |
| Light Microscopy | LM | $h\nu \rightarrow h\nu$ | | | x | | [8-335] |
| Laser Scanning Microscopy | LSM | $h\nu \rightarrow h\nu$ | | | x | | [8-314; 8-416] |
| Ramanscattering | RS | $h\nu \rightarrow h\nu$ | | x | | | [8-395; 8-398 bis 8-402] |
| X-ray Photoelectron Spectrosc. | XPS | $h\nu \rightarrow c$ | x | | | | [8-340; 8-341; 8-434 bis 8-437] |
| Ultra Violet PS | UPS | $h\nu \rightarrow c$ | | | | x | [8-435; 8-436] |
| Laser Microprobe Mass Anal. | LAMMA | $h\nu \rightarrow i$ | x | | | | [8-438] |
| Photo Acoustic Spectroscopy | PAS | $h\nu \rightarrow ph$ | | | | x | [8-403] |
| Scanning Electron Microscopy | SEM | $e \rightarrow e$ | | | x | | [8-467; 8-430; 8-431; 8-432] |
| (Scan)Transmission Electr. Micr. | (S)TEM | $e \rightarrow e$ | | x | | | [8-466; 8-463 bis 8-466] |
| Electron Beam Induced Current | EBIC | $e \rightarrow e$ | | | x | x | [8-467; 8-468; 8-469] |
| Voltage Contrast Microscopy | VCM | $e \rightarrow c$ | | | x | x | [8-335] |
| Low Energy Electron Diffraction | LEED | $e \rightarrow c$ | | x | | | [8-357; 8-408; 8-409] |
| Reflective High EED | RHEED | $e \rightarrow c$ | | x | | | [8-359; 8-418; 8-419] |
| Auger Electron Spectroscopy | AES | $e \rightarrow e$ | x | | | x | [8-340; 8-433; 8-434] |
| Electron Energy Loss Spectr. | EELS | $e \rightarrow e$ | x | x | | x | [8-357; 8-404 bis 8-407] |
| Electron Micro Probe | EMP | $e \rightarrow h\nu$ | x | | | | [8-439] |
| X-Ray Emission Spectroscopy | XES | $c \rightarrow h\nu$ | x | | x | | [8-431; 8-432; 8-458; 8-459; 8-460] |
| Ion Scattering Spectroscopy | ISS | $i \rightarrow i$ | x | (x) | | | [8-340; 8-410; 8-434] |
| Secondary Ion Mass Spectrosc. | SIMS | $i \rightarrow i$ | x | | x | | [8-340; 8-346; 8-354; 8-440; 8-441; 8-442] |
| Rutherford Backscattering | RBS | $i \rightarrow i$ | x | (x) | | | [8-454; 8-455; 8-456] |
| Secondary Neutral Mass Spectr. | SNMS | $i \rightarrow n$ | x | | | | [8-355] |
| Particle Induced X-Ray Emission | PIXE | $i \rightarrow h\nu$ | x | | | | [8-356] |
| Field Ion Microscopy | FIM | $e \rightarrow i$ | x | x | | | [8-340] |
| Scanning Tunneling Microscopy | STM | $e \rightarrow e$ | | x | x | (x) | [8-428; 8-429] |
| Scanning Acoustic Microscopy | SAM | $ph \rightarrow ph$ | | | x | | [8-416; 8-417] |

*) $h\nu$ Photonen, ph Phononen, e Elektronen, i Ionen, n Neutralteilchen, e elektrisches Feld

[3, p. 342]

Anhang

Zur Berechnung der elektrischen Leitfähigkeit dünner Schichten:

Ausgangspunkt aller folgenden Berechnungen ist der Ausdruck für die Stromdichte \vec{j}_e ,

$$\vec{j}_e = -ne\vec{v} = -e\vec{v} \int \frac{dn}{V} = -e\vec{v} \frac{N}{V} = -ne\vec{v}$$

Da e und \vec{v} bekannt sind, ist die Elektronendichte n zu berechnen:

$$dn = 2 \cdot f_0(E) \cdot d\Phi \quad d\Phi \dots \text{Phasenraumvolumen}$$

$$f_0(E) = \frac{1}{1 + e^{(E-E_f)/k_B T}} \quad \dots \text{Fermi-Verteilung}$$

$$d\Phi = \frac{d^3x d^3p}{h^3} \quad \dots \text{dimensionslos, Anzahl der Zustände in einem Phasenraumelement der Größe } d^3x d^3p$$

Aus der Quantenmechanik ist die Anzahl der möglichen Zustände in einem Phasenraumelement mit den verallgemeinerten Koordinaten (q,p) : $\frac{d^3q d^3p}{h^3}$ bekannt: in einem Phasenraumelement der Größe h^3 kann sich nur ein Zustand befinden

a) Leitfähigkeit ohne elektrisches Feld

$$\begin{aligned} \vec{j}_e &= -e \int_{R,\vec{v}} \vec{v} \frac{dn}{V} = -2e \int_{R,\vec{v}} \vec{v} f_0(\vec{v}) \frac{d\Phi}{V} = \left| d\Phi = \left(\frac{m}{h} \right)^3 d^3x d^3v \right| = \\ &= -2e \left(\frac{m}{h} \right)^3 \frac{1}{V} \cdot \underbrace{\int_{\vec{v}} d^3x}_{\vec{v}} \int_{\vec{v}} \vec{v} f_0(\vec{v}) d^3v = -2e \left(\frac{m}{h} \right)^3 \int_{\vec{v}} \vec{v} f_0(\vec{v}) d^3v = 0 \end{aligned}$$

b) Leitfähigkeit mit elektrischem Feld in einem unendlich ausgedehnten Medium: Ohm'sches Gesetz:

Anwendung der Boltzmannschen Transporttheorie:

Allgemeine Formulierung der Boltzmann-Gleichung:

$$\frac{df(\vec{r}, \vec{v}, t)}{dt} = \left(\frac{d}{dt} \right)_{coll}$$

d. h. Änderungen in der Verteilungsfunktion werden durch Stöße (extrem kurzzeitige Wechselwirkungen der Bestandteile des Systems) bewirkt.

Bildung des totalen Differentials:

$$\frac{\mathcal{J}}{\partial t} + \vec{\nabla}_r f \frac{d\vec{r}}{dt} + \vec{\nabla}_v f \frac{d\vec{v}}{dt} = \left(\frac{\mathcal{J}}{\partial t} \right)_{coll}$$

$a = \vec{F}/m = \frac{e\vec{E}}{m}$

Spezielle Form der Boltzmann-Gleichung für das Elektrische Feld:

$$\frac{\mathcal{J}}{\partial t} + \vec{v} \vec{\nabla}_r f - \frac{e\vec{E}}{m} \vec{\nabla}_v f = \left(\frac{\mathcal{J}}{\partial t} \right)_{coll}$$

Der Ansatz für den Kollisionsterm bestimmt die detaillierte Lösung der Boltzmann-Gleichung:

$$f(t) - f_0 = C \cdot e^{-t/\tau}$$

$$\left(\frac{\mathcal{J}}{\partial t} \right)_{coll} = -\frac{f(t) - f_0}{\tau}$$

Randbedingungen: \vec{E} -Feld in x-Richtung, homogene Stärke.

Ansatz: $f = f_0 + A$, $A = A(E)$...Störterm, unabhängig von \vec{v}

$$\vec{v} \vec{\nabla}_r (f_0 + A) - \frac{eE}{m} \frac{\partial (f_0 + A)}{\partial v_x} = -\frac{1}{\tau} (f_0 + A - f_0), \text{ da } (\vec{\nabla}_r f_0 = 0)$$

$$\frac{eE}{m} \frac{\partial f_0}{\partial v_x} = \frac{1}{\tau} A$$

$$A = \frac{eE}{m} \tau \frac{\partial f_0}{\partial v_x}$$

Wiederum folgt die Berechnung der Stromdichte:

$$\vec{j}_e = -ne\vec{v} = -e \int \vec{v} \frac{dn}{V} = |dn = 2 \cdot f(\vec{v}) d\Phi| = -2e \left(\frac{m}{h} \right)^3 \frac{1}{V} \int_{\vec{R}, \vec{v}} \vec{v} f(\vec{v}) d^3 x d^3 v$$

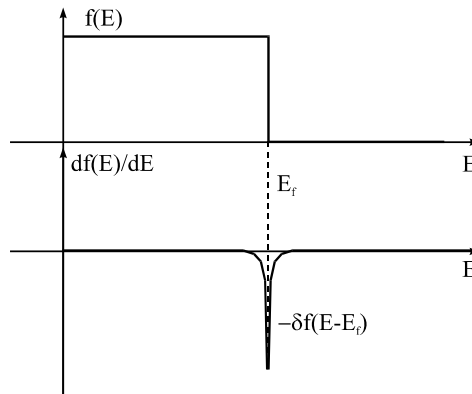
Berechnung einer Komponente von \vec{j} , j_x :

$$f = f_0 + A = f_0 + \frac{eE}{m} \tau \frac{\partial f_0}{\partial v_x}$$

$$j_x = -2e \left(\frac{m}{h} \right)^3 \frac{1}{V} \int_{\vec{R}} d^3 x \underbrace{\int_v f_0(\vec{v}) v_x d^3 v}_{=0} - \frac{2e^2 E}{m} \left(\frac{m}{h} \right)^3 \tau \frac{1}{V} \int_{\vec{R}} d^3 x \int_v v_x \frac{\partial f_0}{\partial v_x} d^3 v =$$

$$= \left| \frac{1}{V} \cdot \int_{\vec{R}} d^3 x = 1 \right| = - \underbrace{2e^2 E \frac{m^2}{h^3} \tau}_{C} \int_{\vec{v}} v_x \frac{\partial f_0}{\partial v_x} d^3 v$$

In der obigen Gleichung ist nur mehr die Ableitung $\frac{\partial f_0}{\partial v_x}$ unbekannt. Diese ergibt sich über die bekannte Fermiverteilung (siehe folgende Skizze) zu einer Delta-Funktion:



$$j_x = C \int_{\vec{v}} v_x \frac{\partial f_0}{\partial v_x} d^3 v = \left| d^3 v = 4\pi v^2 dv \right| = C \cdot \int_{\vec{v}} v_x \frac{\partial f_0}{\partial v_x} 4\pi v^2 dv = \left| \frac{\partial f_0}{\partial v_x} = \frac{\partial f_0}{\partial E} \frac{\partial E}{\partial v_x} = \frac{\partial f_0}{\partial E} \cdot m v_x \right| =$$

$$= C \cdot 4\pi m \int_{\vec{v}} v_x^2 \frac{\partial f_0}{\partial E} v^2 dv$$

$$j_x = -2e^2 E \tau \frac{m^2}{h^3} \cdot 4\pi m \int_{\vec{v}} v_x^2 \cdot [-\delta(E - E_f)] v^2 dv = 8\pi e^2 E \tau \left(\frac{m}{h}\right)^3 \cdot \underbrace{\int_{\vec{v}} v_x^2 \cdot [\delta(E - E_f)] v^2 dv}_*$$

* : zur Lösung dieses Integrals dient folgender Trick: man löse die analogen Gleichungen in y und z und bilde $j_x + j_y + j_z$:

$$* = \int_{\vec{v}} [v_x^2 + v_y^2 + v_z^2] \delta(E - E_f) v^2 dv = \int_{\vec{v}} v^4 \delta(E - E_f) dv = \left| dv = \frac{dE}{mv} \right| = \int_E m^{-1} v^3 \delta(E - E_f) dE =$$

$$= \int_E m^{-1} \left(\frac{2E}{m}\right)^{3/2} \delta(E - E_f) dE = m^{-1} \left(\frac{2E_f}{m}\right)^{3/2} = m^{-1} v_f^3$$

$$j_x = \frac{1}{3} (j_x + j_y + j_z) = 8\pi e^2 E \tau \frac{m^2}{h^3} \cdot v_f^3$$

In einem beliebigem Koordinatensystem gilt dann:

$$j = \frac{1}{3} j_x = \frac{8\pi e^2 E \tau m^2 v_f^3}{3h^3} E = \sigma E$$

$$\sigma = \frac{8\pi e^2 E \tau m^2 v_f^3}{3h^3} = \frac{ne^2}{m} \tau, \text{ weil}$$

$$n = \frac{1}{V} \int dn = \frac{1}{V} \int_{\vec{R}, \vec{v}} 2f_0 \left(\frac{m}{h}\right)^3 d^3 x d^3 v = \frac{8\pi}{3} \left(\frac{v_f m}{h}\right)^3$$

c) Leitfähigkeit dünner Schichten: Fuchs-Sondheimer-Gleichung

Ansatz: $f = f_0 + A$, $A=A(E, z)$...Störterm, unabhängig von \vec{v} , jetzt aber Abhängig von der Position in der Schicht

Mögliche Randbedingungen:

* Spekulare Reflexion an den Schichtgrenzflächen: kein Unterschied zum dreidimensionalen Festkörper

* Diffuse Reflexion an den Schichtgrenzflächen:

Ansatz für $f(v, E, z)$: $f = f_0 + A(E, z)$

Randbedingung für diffuse Reflexion: $f(z=0)=f_0$

$$f(z=0) = f_0 = \underbrace{\frac{eE\tau}{m} \frac{\partial f_0}{\partial v_x}}_{A(z=0)} (1+K) + f_0$$

$$\Rightarrow K = -1$$

$$j = \underbrace{-2e \left(\frac{m}{h}\right)^3 \tau \int \vec{v} \left(f_0 + \frac{eE}{m} \frac{\partial f_0}{\partial v_x} \right) d^3v}_{j_0} + \underbrace{2e \left(\frac{m}{h}\right)^3 \tau \int \vec{v} \frac{eE}{m} \frac{\partial f_0}{\partial v_x} \cdot e^{-\frac{z}{v_z}} d^3v}_{\substack{\text{zulösen für} \\ z=0 \rightarrow z=D \\ I}}$$

Bei der Lösung von I ist auch noch der Mittelwert bis $z=D$ zu bilden. \Rightarrow Skript. 4.57

Anhang

Referenzen und weiterführende Literatur:

- [1].
"OBERFLÄCHEN- UND DÜNNSCICHT-TECHNOLOGIE;
Teil I: Beschichtungen von Oberflächen"
R. A. Haefler
Springer Verlag 1987
- [2].
"DEPOSITION TECHNOLOGIES FOR FILMS AND COATINGS;
Developments and Applications"
R. F. Bunshah
Noyes Publications 1982
- [3].
"DÜNNSCICHTTECHNOLOGIE"
H. Frey, G. Kienel
VDI-Verlag 1987
- [4].
"COATINGS ON GLASS"
H. K. Pulker
Elsevier 1984
- [5].
"HANDBOOK OF THIN FILM TECHNOLOGY"
L. I. Maissel, R. Glang
McGraw-Hill 1970
- [6].
NUCLEATION AND GROWTH OF THIN FILMS
J. A. Venables, G. D. T. Spiller, M. Hanbücken
Rep. Prog. Phys. 47 (1984) 399-459
- [7].
GROWTH DYNAMICS OF SPUTTER DEPOSITION
G. S. Bales, A. Zangwill
Phys. Rev. Letters 63(6) (1989) 692-693
- [8].
MACROSCOPIC MODEL FOR COLUMNAR GROWTH OF AMORPHOUS FILM BY SPUTTER
DEPOSITION
G. S. Bales, A. Zangwill
J. Vac. Sci. Technol. A9(1) (1991) 145-149
- [9].
"ROUGH SURFACES"
T. R. Thomas
Imperial College Press 1999
- [10].
"ELECTRICAL CONDUCTION IN THIN METAL FILMS"
T. J. Coutts
Elsevier 1974

[11].
"DÜNNE SCHICHTEN FÜR DIE OPTIK"
H. Anders
Wissenschaftliche Verlagsgesellschaft mbH, Stuttgart 1965

[12].
"THIN FILM OPTICAL FILTERS"
H. A. McLeod
Adam Hilger LTD 1969

[13].
VACUUM TECHNOLOGY
A. Roth
North Holland 1982